

# Voronoi Diagrams

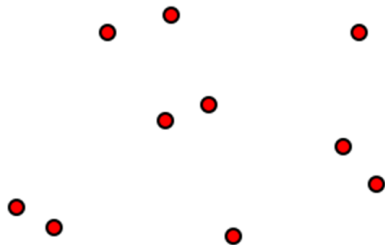
Christian Wellenbrock

December 1, 2009

# Das Voronoi Diagramm

## Problemstellung

**Gegeben:** Menge der Zentren  $P = \{p_1, \dots, p_n\} \subset \mathbb{R}^2$

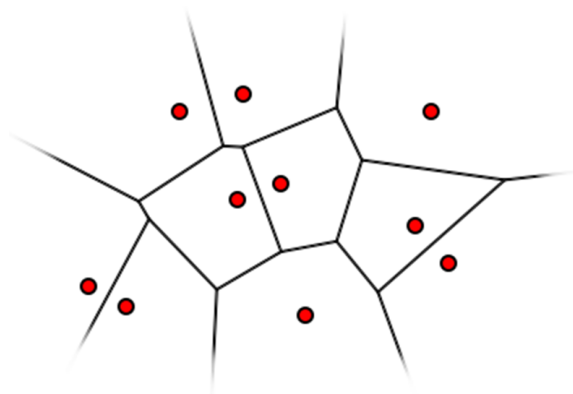


# Das Voronoi Diagramm

## Problemstellung

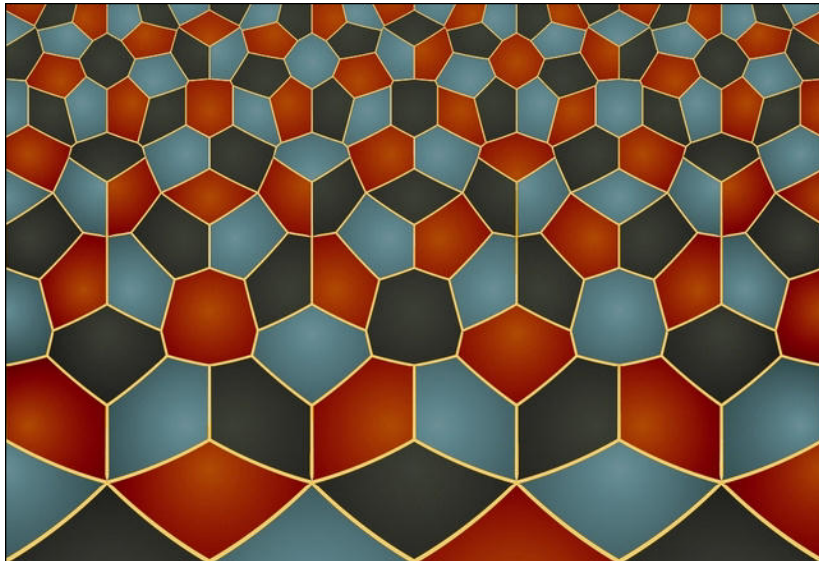
**Gegeben:** Menge der Zentren  $P = \{p_1, \dots, p_n\} \subset \mathbb{R}^2$

**Gesucht:** Partitionierung  $\text{Vor}(P)$  von  $\mathbb{R}^2$ , die jedem  $q \in \mathbb{R}^2$  das euklidisch nächste Zentrum  $p_i$  zuordnet

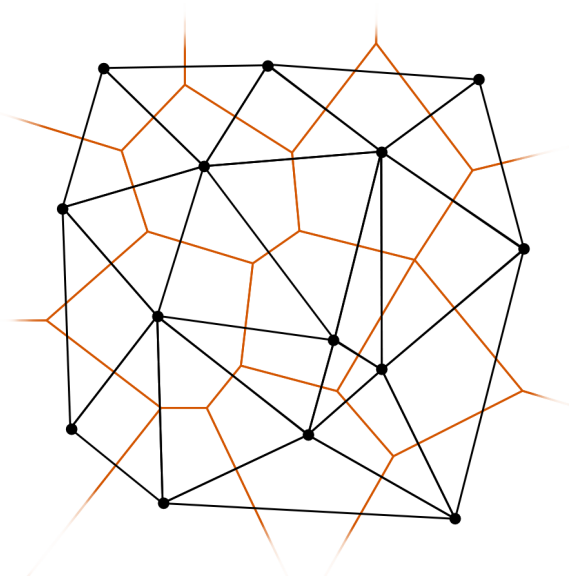


# Warum Voronoi-Diagramme?

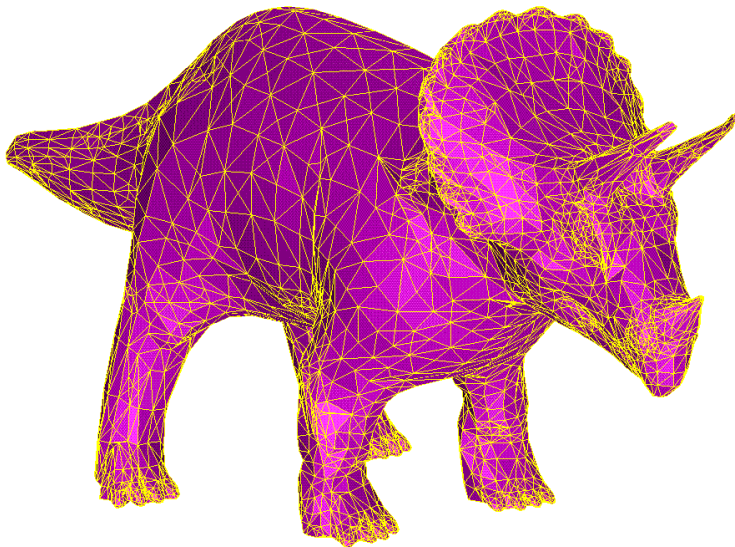
# Warum Voronoi-Diagramme?



# Warum Voronoi-Diagramme?



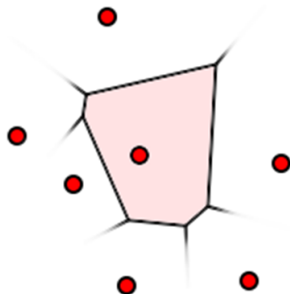
# Warum Voronoi-Diagramme?



## Definitionen

**Voronoi-Region** von  $p \in P$ :

$$V(p) = \{q \in \mathbb{R}^2 : \forall p' \in P \setminus \{p\} : \text{dist}(q, p) < \text{dist}(q, p')\}$$



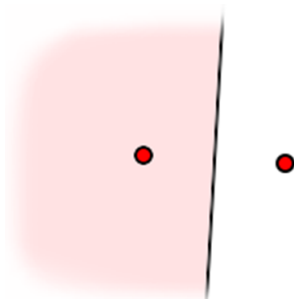
## Definitionen

**Voronoi-Region** von  $p \in P$ :

$$V(p) = \{q \in \mathbb{R}^2 : \forall p' \in P \setminus \{p\} : \text{dist}(q, p) < \text{dist}(q, p')\}$$

**Halbebene** von  $p \in P$  bezüglich  $p' \in P$ :

$$h(p, p') = \{q \in \mathbb{R}^2 : \text{dist}(q, p) < \text{dist}(q, p')\}$$



## Definitionen

**Voronoi-Region** von  $p \in P$ :

$$V(p) = \{q \in \mathbb{R}^2 : \forall p' \in P \setminus \{p\} : \text{dist}(q, p) < \text{dist}(q, p')\}$$

**Halbebene** von  $p \in P$  bezüglich  $p' \in P$ :

$$h(p, p') = \{q \in \mathbb{R}^2 : \text{dist}(q, p) < \text{dist}(q, p')\}$$

## Folgerung

$$V(p) = \bigcap_{p' \in P \setminus \{p\}} h(p, p')$$

# Struktur von Voronoi Diagrammen

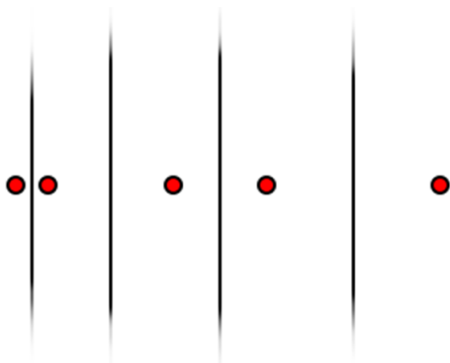
## Satz

Ist  $P$  kollinear, so besteht  $\text{Vor}(P)$  aus  $n - 1$  parallelen Geraden. Andernfalls ist  $\text{Vor}(P)$  zusammenhängend und besteht aus Strecken und Geraden.

# Struktur von Voronoi Diagrammen

## Satz

Ist  $P$  kollinear, so besteht  $\text{Vor}(P)$  aus  $n - 1$  parallelen Geraden.  
Andernfalls ist  $\text{Vor}(P)$  zusammenhängend und besteht aus Strecken und Geraden.



Es gibt  $n$  Voronoi-Regionen mit jeweils höchstens  $n - 1$  Ecken und  $n - 1$  Kanten. Die Komplexität des Voronoi Diagramms liegt somit in  $\mathcal{O}(n^2)$

Es gibt  $n$  Voronoi-Regionen mit jeweils höchstens  $n - 1$  Ecken und  $n - 1$  Kanten. Die Komplexität des Voronoi Diagramms liegt somit in  $\mathcal{O}(n^2)$

## Satz

Die Anzahl der Knoten und Kanten eines Voronoi Diagramms liegt in  $\mathcal{O}(n)$ .

Es gibt  $n$  Voronoi-Regionen mit jeweils höchstens  $n - 1$  Ecken und  $n - 1$  Kanten. Die Komplexität des Voronoi Diagramms liegt somit in  $\mathcal{O}(n^2)$

## Satz

Die Anzahl der Knoten und Kanten eines Voronoi Diagramms liegt in  $\mathcal{O}(n)$ .

## Beweis

Klar falls  $P$  kollinear.

Es gibt  $n$  Voronoi-Regionen mit jeweils höchstens  $n - 1$  Ecken und  $n - 1$  Kanten. Die Komplexität des Voronoi Diagramms liegt somit in  $\mathcal{O}(n^2)$

## Satz

Die Anzahl der Knoten und Kanten eines Voronoi Diagramms liegt in  $\mathcal{O}(n)$ .

## Beweis

Klar falls  $P$  kollinear. Ansonsten:

- ▶ Verbinde alle Halbgeraden mit neuem Punkt  $p_\infty$

Es gibt  $n$  Voronoi-Regionen mit jeweils höchstens  $n - 1$  Ecken und  $n - 1$  Kanten. Die Komplexität des Voronoi Diagramms liegt somit in  $\mathcal{O}(n^2)$

## Satz

Die Anzahl der Knoten und Kanten eines Voronoi Diagramms liegt in  $\mathcal{O}(n)$ .

## Beweis

Klar falls  $P$  kollinear. Ansonsten:

- ▶ Verbinde alle Halbgeraden mit neuem Punkt  $p_\infty$
- ▶ Verwende Eulerschen Polyedersatz auf dem entstandenen Graphen:  $(e + 1) + n - k = 2$

Es gibt  $n$  Voronoi-Regionen mit jeweils höchstens  $n - 1$  Ecken und  $n - 1$  Kanten. Die Komplexität des Voronoi Diagramms liegt somit in  $\mathcal{O}(n^2)$

## Satz

Die Anzahl der Knoten und Kanten eines Voronoi Diagramms liegt in  $\mathcal{O}(n)$ .

## Beweis

Klar falls  $P$  kollinear. Ansonsten:

- ▶ Verbinde alle Halbgeraden mit neuem Punkt  $p_\infty$
- ▶ Verwende Eulerschen Polyedersatz auf dem entstandenen Graphen:  $(e + 1) + n - k = 2$
- ▶ Summiere Grade aller Knoten:  $2k \geq 3(e + 1)$

Es gibt  $n$  Voronoi-Regionen mit jeweils höchstens  $n - 1$  Ecken und  $n - 1$  Kanten. Die Komplexität des Voronoi Diagramms liegt somit in  $\mathcal{O}(n^2)$

## Satz

Die Anzahl der Knoten und Kanten eines Voronoi Diagramms liegt in  $\mathcal{O}(n)$ .

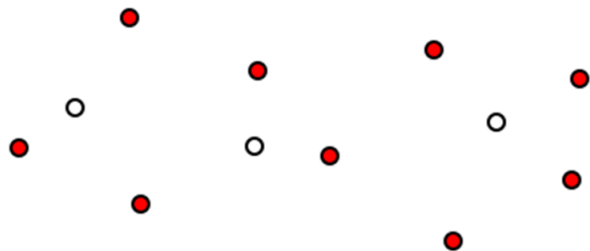
## Beweis

Klar falls  $P$  kollinear. Ansonsten:

- ▶ Verbinde alle Halbgeraden mit neuem Punkt  $p_\infty$
- ▶ Verwende Eulerschen Polyedersatz auf dem entstandenen Graphen:  $(e + 1) + n - k = 2$
- ▶ Summiere Grade aller Knoten:  $2k \geq 3(e + 1)$
- ▶ Einsetzen liefert  $e \leq 2n + 5$  und  $k \leq 3n - 6$

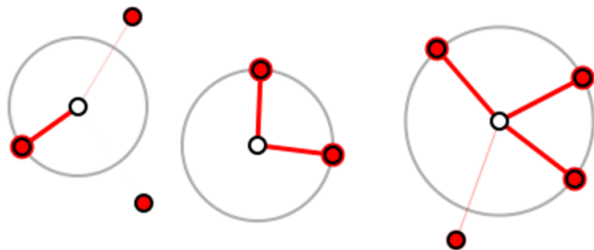
## Definition

Zu  $q \in \mathbb{R}^2$  sei  $C_P(q)$  der größte offene Kreis um  $q$ , der kein  $p \in P$  enthält.



## Definition

Zu  $q \in \mathbb{R}^2$  sei  $C_P(q)$  der größte offene Kreis um  $q$ , der kein  $p \in P$  enthält.

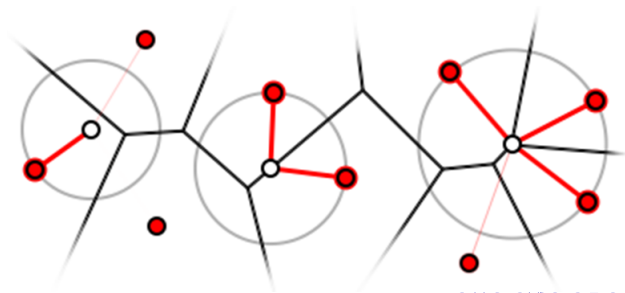


## Definition

Zu  $q \in \mathbb{R}^2$  sei  $C_P(q)$  der größte offene Kreis um  $q$ , der kein  $p \in P$  enthält.

## Satz

- $q \in \mathbb{R}^2$  ist Knoten von  $\text{Vor}(P)$   $\iff |P \cap \partial C_P(q)| \geq 3$

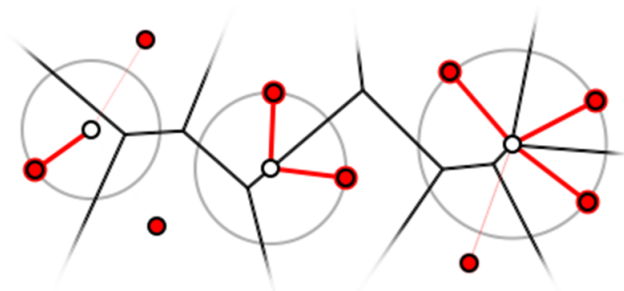


## Definition

Zu  $q \in \mathbb{R}^2$  sei  $C_P(q)$  der größte offene Kreis um  $q$ , der kein  $p \in P$  enthält.

## Satz

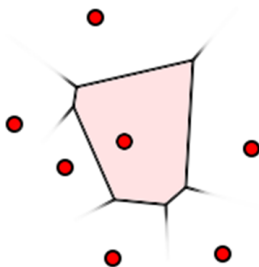
- ▶  $q \in \mathbb{R}^2$  ist Knoten von  $\text{Vor}(P)$   $\iff |P \cap \partial C_P(q)| \geq 3$
- ▶  $q \in \mathbb{R}^2$  liegt auf Kante von  $\text{Vor}(P)$   $\iff |P \cap \partial C_P(q)| = 2$



# Berechnung des Voronoi-Diagramms

## Naiver Ansatz

Berechne jede Voronoi-Region  $V(p)$  als Schnitt der Halbebenen  $h(p, p')$  für  $p' \in P \setminus \{p\}$ .



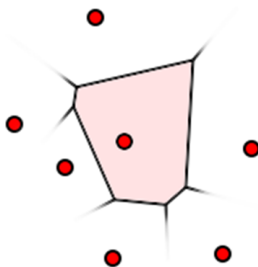
# Berechnung des Voronoi-Diagramms

## Naiver Ansatz

Berechne jede Voronoi-Region  $V(p)$  als Schnitt der Halbebenen  $h(p, p')$  für  $p' \in P \setminus \{p\}$ .

## Laufzeit

- ▶ pro Region  $\mathcal{O}(n \log n)$



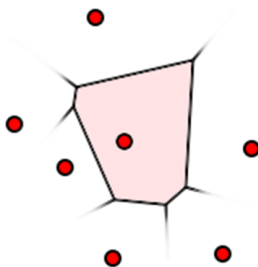
# Berechnung des Voronoi-Diagramms

## Naiver Ansatz

Berechne jede Voronoi-Region  $V(p)$  als Schnitt der Halbebenen  $h(p, p')$  für  $p' \in P \setminus \{p\}$ .

## Laufzeit

- ▶ pro Region  $\mathcal{O}(n \log n)$
- ▶ Gesamtlaufzeit in  $\mathcal{O}(n^2 \log n)$



# Fortune's Algorithm

Wir betrachten einen Sweep-Line-Algorithmus mit Laufzeit in  $\mathcal{O}(n \log n)$ .

# Fortune's Algorithm

Wir betrachten einen Sweep-Line-Algorithmus mit Laufzeit in  $\mathcal{O}(n \log n)$ .

## Sweep-Line Prinzip

- ▶ Schiebe vertikale Gerade  $\ell$  von links nach rechts über Ebene

# Fortune's Algorithm

Wir betrachten einen Sweep-Line-Algorithmus mit Laufzeit in  $\mathcal{O}(n \log n)$ .

## Sweep-Line Prinzip

- ▶ Schiebe vertikale Gerade  $\ell$  von links nach rechts über Ebene
- ▶ Konstruiere unterwegs die gesuchte Lösung

# Fortune's Algorithm

Wir betrachten einen Sweep-Line-Algorithmus mit Laufzeit in  $\mathcal{O}(n \log n)$ .

## Sweep-Line Prinzip

- ▶ Schiebe vertikale Gerade  $\ell$  von links nach rechts über Ebene
- ▶ Konstruiere unterwegs die gesuchte Lösung
- ▶ Betrachte dazu den Schnitt der Geraden  $\ell$  mit der Lösung

# Fortune's Algorithm

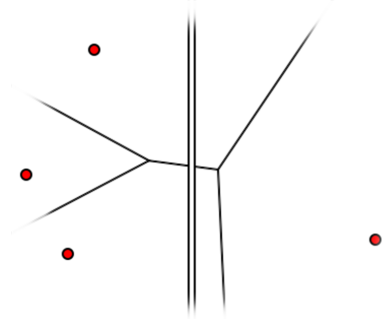
Wir betrachten einen Sweep-Line-Algorithmus mit Laufzeit in  $\mathcal{O}(n \log n)$ .

## Sweep-Line Prinzip

- ▶ Schiebe vertikale Gerade  $\ell$  von links nach rechts über Ebene
- ▶ Konstruiere unterwegs die gesuchte Lösung
- ▶ Betrachte dazu den Schnitt der Geraden  $\ell$  mit der Lösung

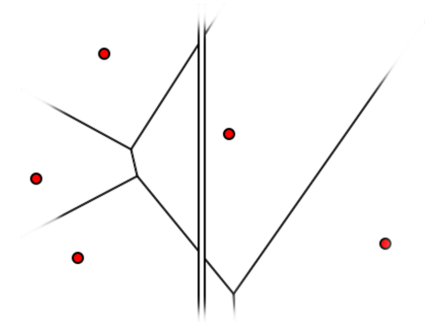
Dies ist hier **nicht** möglich: Das Voronoi Diagramm links von  $\ell$  hängt auch von Zentren rechts von  $\ell$  ab!

# Fortune's Algorithm



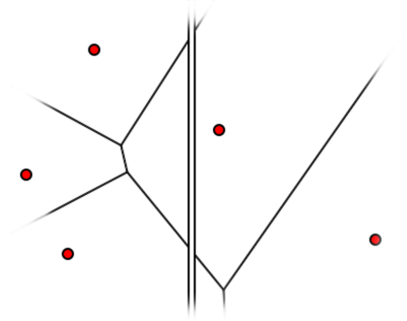
Dies ist hier **nicht** möglich: Das Voronoi Diagramm links von  $\ell$  hängt auch von Zentren rechts von  $\ell$  ab!

# Fortune's Algorithm



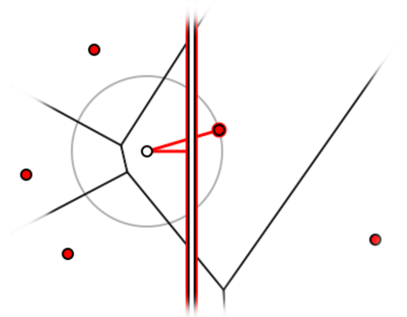
Dies ist hier **nicht** möglich: Das Voronoi Diagramm links von  $\ell$  hängt auch von Zentren rechts von  $\ell$  ab!

# Welcher Teil des Voronoi-Diagramms ist bekannt?



Für welche  $q \in \mathbb{R}^2$  links von  $\ell$  kennen wir bereits das nächste Zentrum  $p \in P$ ?

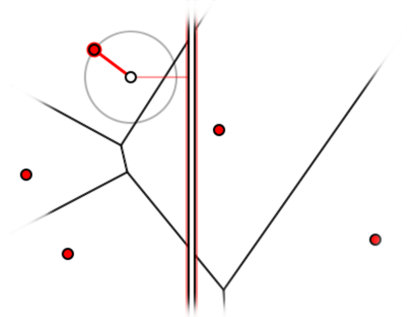
# Welcher Teil des Voronoi-Diagramms ist bekannt?



Für welche  $q \in \mathbb{R}^2$  links von  $\ell$  kennen wir bereits das nächste Zentrum  $p \in P$ ?

- ▶ Für  $p' \in P$  rechts von  $\ell$  gilt  $\text{dist}(q, p') \geq \text{dist}(q, \ell)$

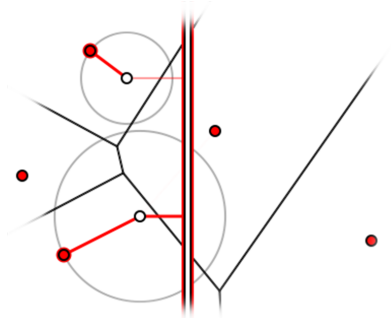
# Welcher Teil des Voronoi-Diagramms ist bekannt?



Für welche  $q \in \mathbb{R}^2$  links von  $\ell$  kennen wir bereits das nächste Zentrum  $p \in P$ ?

- ▶ Für  $p' \in P$  rechts von  $\ell$  gilt  $\text{dist}(q, p') \geq \text{dist}(q, \ell)$
- ▶ Aus  $\text{dist}(q, p) < \text{dist}(q, \ell)$  folgt somit  $\text{dist}(q, p) < \text{dist}(q, p')$

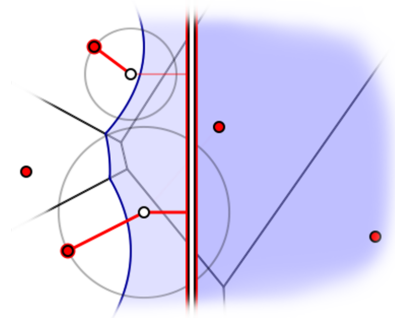
# Welcher Teil des Voronoi-Diagramms ist bekannt?



Für welche  $q \in \mathbb{R}^2$  links von  $\ell$  kennen wir bereits das nächste Zentrum  $p \in P$ ?

- ▶ Für  $p' \in P$  rechts von  $\ell$  gilt  $\text{dist}(q, p') \geq \text{dist}(q, \ell)$
- ▶ Aus  $\text{dist}(q, p) < \text{dist}(q, \ell)$  folgt somit  $\text{dist}(q, p) < \text{dist}(q, p')$
- ▶ Für jedes  $p \in P$  ist das Voronoi-Diagramm bekannt in  $\{q \in \mathbb{R}^2 : \text{dist}(q, p) < \text{dist}(q, \ell)\}$

# Welcher Teil des Voronoi-Diagramms ist bekannt?

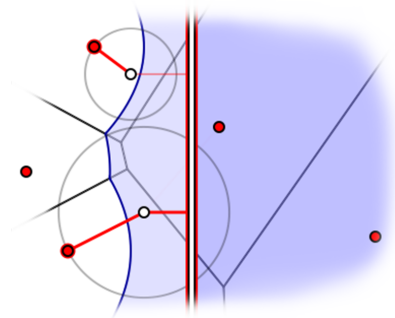


Für welche  $q \in \mathbb{R}^2$  links von  $\ell$  kennen wir bereits das nächste Zentrum  $p \in P$ ?

- Insgesamt ist das Voronoi-Diagramm somit bekannt in

$$G = \bigcup_{p \in P} \{q \in \mathbb{R}^2 : \text{dist}(q, p) < \text{dist}(q, \ell)\}$$

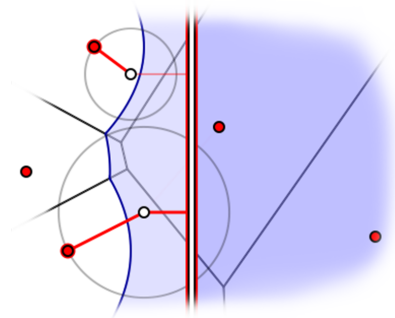
# Welcher Teil des Voronoi-Diagramms ist bekannt?



Für welche  $q \in \mathbb{R}^2$  links von  $\ell$  kennen wir bereits das nächste Zentrum  $p \in P$ ?

- ▶  $\partial G$  heißt Beach-Line und besteht aus parabolischen Bögen

# Welcher Teil des Voronoi-Diagramms ist bekannt?



Für welche  $q \in \mathbb{R}^2$  links von  $\ell$  kennen wir bereits das nächste Zentrum  $p \in P$ ?

- ▶  $\partial G$  heißt Beach-Line und besteht aus parabolischen Bögen
- ▶ Die Schnittpunkte dieser Bögen zeichnen die Voronoi-Kanten

# Wann ändert sich die Struktur der Beach-Line?

## Site Event

- ▶  $\ell$  erreicht Zentrum  $p \in P$

# Wann ändert sich die Struktur der Beach-Line?

## Site Event

- ▶  $\ell$  erreicht Zentrum  $p \in P$
- ▶ Ein Punkt auf der Beach-Line ist von  $p$  genau so weit entfernt wie vom zugehörigen Zentrum

# Wann ändert sich die Struktur der Beach-Line?

## Site Event

- ▶  $\ell$  erreicht Zentrum  $p \in P$
- ▶ Ein Punkt auf der Beach-Line ist von  $p$  genau so weit entfernt wie vom zugehörigen Zentrum
- ▶ Neuer Bogen entsteht

# Wann ändert sich die Struktur der Beach-Line?

## Site Event

- ▶  $\ell$  erreicht Zentrum  $p \in P$
- ▶ Ein Punkt auf der Beach-Line ist von  $p$  genau so weit entfernt wie vom zugehörigen Zentrum
- ▶ Neuer Bogen entsteht
- ▶ Dieser teilt höchstens einen alten Bogen in zwei Teile  
⇒ Beach-Line besteht aus höchstens  $2n - 1$  Bögen

# Wann ändert sich die Struktur der Beach-Line?

## Site Event

- ▶  $\ell$  erreicht Zentrum  $p \in P$
- ▶ Ein Punkt auf der Beach-Line ist von  $p$  genau so weit entfernt wie vom zugehörigen Zentrum
- ▶ Neuer Bogen entsteht
- ▶ Dieser teilt höchstens einen alten Bogen in zwei Teile  
⇒ Beach-Line besteht aus höchstens  $2n - 1$  Bögen

## Circle Event

- ▶ Ein Bogen zieht sich zu einem Punkt zusammen

# Wann ändert sich die Struktur der Beach-Line?

## Site Event

- ▶  $\ell$  erreicht Zentrum  $p \in P$
- ▶ Ein Punkt auf der Beach-Line ist von  $p$  genau so weit entfernt wie vom zugehörigen Zentrum
- ▶ Neuer Bogen entsteht
- ▶ Dieser teilt höchstens einen alten Bogen in zwei Teile  
⇒ Beach-Line besteht aus höchstens  $2n - 1$  Bögen

## Circle Event

- ▶ Ein Bogen zieht sich zu einem Punkt zusammen
- ▶ Ein Punkt auf der Beach-Line ist von mindestens drei Zentren genau so weit entfernt wie von  $\ell$

# Wann ändert sich die Struktur der Beach-Line?

## Site Event

- ▶  $\ell$  erreicht Zentrum  $p \in P$
- ▶ Ein Punkt auf der Beach-Line ist von  $p$  genau so weit entfernt wie vom zugehörigen Zentrum
- ▶ Neuer Bogen entsteht
- ▶ Dieser teilt höchstens einen alten Bogen in zwei Teile  
⇒ Beach-Line besteht aus höchstens  $2n - 1$  Bögen

## Circle Event

- ▶ Ein Bogen zieht sich zu einem Punkt zusammen
- ▶ Ein Punkt auf der Beach-Line ist von mindestens drei Zentren genau so weit entfernt wie von  $\ell$
- ▶ Dieser Punkt ist Voronoi-Knoten

## Was brauchen wir?

- ▶ Repräsentation des bereits bekannten Voronoi-Diagramms

## Was brauchen wir?

- ▶ Repräsentation des bereits bekannten Voronoi-Diagramms
- ▶ Event Queue für Site Events und Circle Events

## Was brauchen wir?

- ▶ Repräsentation des bereits bekannten Voronoi-Diagramms
- ▶ Event Queue für Site Events und Circle Events
- ▶ Repräsentation der Beach-Line

## Was brauchen wir?

- ▶ Repräsentation des bereits bekannten Voronoi-Diagramms
- ▶ Event Queue für Site Events und Circle Events
- ▶ Repräsentation der Beach-Line

## Voronoi-Diagramm

- ▶ Doppelt verkettete Kantenliste  $D$

## Was brauchen wir?

- ▶ Repräsentation des bereits bekannten Voronoi-Diagramms
- ▶ Event Queue für Site Events und Circle Events
- ▶ Repräsentation der Beach-Line

## Voronoi-Diagramm

- ▶ Doppelt verkettete Kantenliste  $D$
- ▶ Füge genügend große Bounding Box hinzu  
⇒ alle Kanten werden endlich

## Blätter

- ▶ Repräsentieren Bögen

## Blätter

- ▶ Repräsentieren Bögen
- ▶ Speichern zugehöriges Zentrum

## Blätter

- ▶ Repräsentieren Bögen
- ▶ Speichern zugehöriges Zentrum
- ▶ Pointer auf zugehöriges Circle Event in der Event Queue

## Blätter

- ▶ Repräsentieren Bögen
- ▶ Speichern zugehöriges Zentrum
- ▶ Pointer auf zugehöriges Circle Event in der Event Queue

## Innere Knoten

- ▶ Repräsentieren Schnittpunkte der Beach Line

## Blätter

- ▶ Repräsentieren Bögen
- ▶ Speichern zugehöriges Zentrum
- ▶ Pointer auf zugehöriges Circle Event in der Event Queue

## Innere Knoten

- ▶ Repräsentieren Schnittpunkte der Beach Line
- ▶ Speichern zu linkem und rechtem Bogen gehörende Zentren

## Blätter

- ▶ Repräsentieren Bögen
- ▶ Speichern zugehöriges Zentrum
- ▶ Pointer auf zugehöriges Circle Event in der Event Queue

## Innere Knoten

- ▶ Repräsentieren Schnittpunkte der Beach Line
- ▶ Speichern zu linkem und rechtem Bogen gehörende Zentren
- ▶ Damit kann bei Site Events der zugehöriger Bogen in  $\mathcal{O}(\log n)$  gefunden werden

## Blätter

- ▶ Repräsentieren Bögen
- ▶ Speichern zugehöriges Zentrum
- ▶ Pointer auf zugehöriges Circle Event in der Event Queue

## Innere Knoten

- ▶ Repräsentieren Schnittpunkte der Beach Line
- ▶ Speichern zu linkem und rechtem Bogen gehörende Zentren
- ▶ Damit kann bei Site Events der zugehöriger Bogen in  $\mathcal{O}(\log n)$  gefunden werden
- ▶ Pointer auf Kante in Kantenliste die dieser Schnittpunkt zeichnet

## Prioritätswarteschlange $Q$

- ▶ Priorisiert nach  $x$ -Koordinate

## Prioritätswarteschlange $Q$

- ▶ Priorisiert nach  $x$ -Koordinate
- ▶ Enthält die bereits bekannten zukünftigen Ereignisse

## Prioritätswarteschlange $Q$

- ▶ Priorisiert nach  $x$ -Koordinate
- ▶ Enthält die bereits bekannten zukünftigen Ereignisse
- ▶ Site Event  $\rightarrow$  Position des neuen Zentrums

## Prioritätswarteschlange $Q$

- ▶ Priorisiert nach  $x$ -Koordinate
- ▶ Enthält die bereits bekannten zukünftigen Ereignisse
- ▶ Site Event  $\rightarrow$  Position des neuen Zentrums
- ▶ Circle Event  $\rightarrow$  rechtester Punkt des Kreises  
enthält Pointer auf Blatt in  $T$ , das verschwindenden Bogen repräsentiert

# Circle Events

- ▶ Alle Site Events sind von Anfang an bekannt

# Circle Events

- ▶ Alle Site Events sind von Anfang an bekannt
- ▶ Die Circle Events jedoch nicht

# Circle Events

- ▶ Alle Site Events sind von Anfang an bekannt
- ▶ Die Circle Events jedoch nicht
- ▶ Bei jedem Event entstehen neue Tripel benachbarter Bögen und alte verschwinden

# Circle Events

- ▶ Alle Site Events sind von Anfang an bekannt
- ▶ Die Circle Events jedoch nicht
- ▶ Bei jedem Event entstehen neue Tripel benachbarter Bögen und alte verschwinden
- ▶ Der Algorithmus muss die zugehörigen Circle Events verwalten

# Circle Events

- ▶ Alle Site Events sind von Anfang an bekannt
- ▶ Die Circle Events jedoch nicht
- ▶ Bei jedem Event entstehen neue Tripel benachbarter Bögen und alte verschwinden
- ▶ Der Algorithmus muss die zugehörigen Circle Events verwalten

Nicht jedes Tripel führt zu einem Circle Event!

# Circle Events

- ▶ Alle Site Events sind von Anfang an bekannt
- ▶ Die Circle Events jedoch nicht
- ▶ Bei jedem Event entstehen neue Tripel benachbarter Bögen und alte verschwinden
- ▶ Der Algorithmus muss die zugehörigen Circle Events verwalten

Nicht jedes Tripel führt zu einem Circle Event!

- ▶ Schnittpunkte müssen nicht zusammenlaufen

# Circle Events

- ▶ Alle Site Events sind von Anfang an bekannt
- ▶ Die Circle Events jedoch nicht
- ▶ Bei jedem Event entstehen neue Tripel benachbarter Bögen und alte verschwinden
- ▶ Der Algorithmus muss die zugehörigen Circle Events verwalten

## Nicht jedes Tripel führt zu einem Circle Event!

- ▶ Schnittpunkte müssen nicht zusammenlaufen
- ▶ Tripel kann vor Circle Event verschwinden

## Ablauf bei jedem Event

- ▶ Teste für jedes neue Tripel benachbarter Bögen ob deren Schnittpunkte zusammenlaufen. Füge gegebenenfalls ein Circle Event in  $Q$  ein.

## Ablauf bei jedem Event

- ▶ Teste für jedes neue Tripel benachbarter Bögen ob deren Schnittpunkte zusammenlaufen. Füge gegebenenfalls ein Circle Event in  $Q$  ein.
- ▶ Prüfe für jedes verschwindende Tripel ob ein entsprechendes Circle Event in  $Q$  existiert. Lösche dieses gegebenenfalls.

## Ablauf bei jedem Event

- ▶ Teste für jedes neue Tripel benachbarter Bögen ob deren Schnittpunkte zusammenlaufen. Füge gegebenenfalls ein Circle Event in  $Q$  ein.
- ▶ Prüfe für jedes verschwindende Tripel ob ein entsprechendes Circle Event in  $Q$  existiert. Lösche dieses gegebenenfalls.

## Satz

Jeder Voronoi-Knoten wird durch ein Circle-Event gefunden.

---

**Algorithm 1:**  $\text{VORONOIDIAGRAM}(P)$ 

---

- 1 Initialize  $Q$  with all site events, initialize an empty tree  $T$  and an empty edge list  $D$
  - 2 **while**  $Q$  is not empty **do**
  - 3     Remove the event with smallest  $x$ -coordinate from  $Q$
  - 4     **if** the event is a site event, occurring at site  $p_i$  **then**
  - 5          $\text{HANDLESITEEVENT}(p_i)$
  - 6     **else**
  - 7          $\text{HANDLECIRCLEEVENT}(\gamma)$ , where  $\gamma$  is the leaf of  $T$   
representing the arc that will disappear
  - 8 Compute a bounding box that contains all vertices of the Voronoi diagram and attach the half-infinite edges to the bounding box by updating the edge list  $D$  appropriately
  - 9 Return  $D$
-

---

**Algorithm 2:** HANDLESITEEVENT( $p_i$ )

---

- 1 If  $T$  is empty, insert  $p_i$  and return. Otherwise continue
  - 2 Search in  $T$  for the arc  $\alpha$  left of  $p_i$ . If the leaf representing  $\alpha$  has a pointer to a circle event in  $Q$ , deleted it from  $Q$ .
  - 3 Replace the leaf of  $T$  that represents  $\alpha$  with a subtree having three leaves. The middle leaf stores the new site  $p_i$  and the other two leaves store the site  $p_j$  that was originally stored with  $\alpha$ . Store the tuples  $(p_j, p_i)$  and  $(p_i, p_j)$  representing the new breakpoints at the two new internal nodes.
  - 4 Create new half-edge records in the Voronoi diagram structure for the edge separating  $V(p_i)$  and  $V(p_j)$ , which will be traced out by the two new breakpoints.
  - 5 Check the new triples of consecutive arcs to see if the breakpoints converge. If so, insert the circle events into  $Q$  and add pointers between the node in  $T$  and the node in  $Q$ .
-

---

**Algorithm 3:** HANDLECIRCLEEVENT( $\gamma$ )

---

- 1 Delete the leaf  $\gamma$  that represents the disappearing arc  $\alpha$  from  $T$ . Update the breakpoints at the internal nodes. Delete all circle events involving  $\alpha$  from  $Q$ .
  - 2 Add the center of the circle causing the event as a vertex to the doubly-connected edge list  $D$ . Create a new half-edge corresponding to the new breakpoint of the beach line. Attach both to the half-edges that end at the vertex.
  - 3 Check the new triples of consecutive arcs to see if the two breakpoints of the triple converge. If so, insert the corresponding circle event into  $Q$  and set pointers between the new circle event in  $Q$  and the corresponding leaf of  $T$ .
-

## Beispiele

- ▶ Zwei Site Events mit gleicher  $x$ -Koordinate

## Beispiele

- ▶ Zwei Site Events mit gleicher  $x$ -Koordinate
- ▶ Zusammenfallende Circle Events

## Beispiele

- ▶ Zwei Site Events mit gleicher  $x$ -Koordinate
- ▶ Zusammenfallende Circle Events
- ▶ Site Event rechts von Schnittpunkt der Beach-Line

## Beispiele

- ▶ Zwei Site Events mit gleicher  $x$ -Koordinate
- ▶ Zusammenfallende Circle Events
- ▶ Site Event rechts von Schnittpunkt der Beach-Line

↔ Degenerierte Fälle werden korrekt behandelt

## Laufzeit

- ▶ Baum- und Queue-Operationen in  $\mathcal{O}(\log n)$

## Laufzeit

- ▶ Baum- und Queue-Operationen in  $\mathcal{O}(\log n)$
- ▶ Listenoperationen in  $\mathcal{O}(1)$

## Laufzeit

- ▶ Baum- und Queue-Operationen in  $\mathcal{O}(\log n)$
- ▶ Listenoperationen in  $\mathcal{O}(1)$
- ▶ Pro Event konstante Anzahl solcher Operationen

## Laufzeit

- ▶ Baum- und Queue-Operationen in  $\mathcal{O}(\log n)$
- ▶ Listenoperationen in  $\mathcal{O}(1)$
- ▶ Pro Event konstante Anzahl solcher Operationen  
⇒ Laufzeit pro Event in  $\mathcal{O}(\log n)$

## Laufzeit

- ▶ Baum- und Queue-Operationen in  $\mathcal{O}(\log n)$
- ▶ Listenoperationen in  $\mathcal{O}(1)$
- ▶ Pro Event konstante Anzahl solcher Operationen  
     $\implies$  Laufzeit pro Event in  $\mathcal{O}(\log n)$
- ▶ Ein Site Event pro Zentrum

## Laufzeit

- ▶ Baum- und Queue-Operationen in  $\mathcal{O}(\log n)$
- ▶ Listenoperationen in  $\mathcal{O}(1)$
- ▶ Pro Event konstante Anzahl solcher Operationen  
⇒ Laufzeit pro Event in  $\mathcal{O}(\log n)$
- ▶ Ein Site Event pro Zentrum  
⇒  $n$  Site Events

## Laufzeit

- ▶ Baum- und Queue-Operationen in  $\mathcal{O}(\log n)$
- ▶ Listenoperationen in  $\mathcal{O}(1)$
- ▶ Pro Event konstante Anzahl solcher Operationen  
⇒ Laufzeit pro Event in  $\mathcal{O}(\log n)$
- ▶ Ein Site Event pro Zentrum  
⇒  $n$  Site Events
- ▶ Ein Circle Event pro Voronoi-Knoten

## Laufzeit

- ▶ Baum- und Queue-Operationen in  $\mathcal{O}(\log n)$
- ▶ Listenoperationen in  $\mathcal{O}(1)$
- ▶ Pro Event konstante Anzahl solcher Operationen  
⇒ Laufzeit pro Event in  $\mathcal{O}(\log n)$
- ▶ Ein Site Event pro Zentrum  
⇒  $n$  Site Events
- ▶ Ein Circle Event pro Voronoi-Knoten  
⇒  $k \in \mathcal{O}(n)$  Circle Events

## Laufzeit

- ▶ Baum- und Queue-Operationen in  $\mathcal{O}(\log n)$
- ▶ Listenoperationen in  $\mathcal{O}(1)$
- ▶ Pro Event konstante Anzahl solcher Operationen  
⇒ Laufzeit pro Event in  $\mathcal{O}(\log n)$
- ▶ Ein Site Event pro Zentrum  
⇒  $n$  Site Events
- ▶ Ein Circle Event pro Voronoi-Knoten  
⇒  $k \in \mathcal{O}(n)$  Circle Events  
⇒ Gesamtanzahl der Events in  $\mathcal{O}(n)$

## Laufzeit

- ▶ Baum- und Queue-Operationen in  $\mathcal{O}(\log n)$
- ▶ Listenoperationen in  $\mathcal{O}(1)$
- ▶ Pro Event konstante Anzahl solcher Operationen  
⇒ Laufzeit pro Event in  $\mathcal{O}(\log n)$
- ▶ Ein Site Event pro Zentrum  
⇒  $n$  Site Events
- ▶ Ein Circle Event pro Voronoi-Knoten  
⇒  $k \in \mathcal{O}(n)$  Circle Events  
⇒ Gesamtanzahl der Events in  $\mathcal{O}(n)$   
⇒ Gesamtlaufzeit in  $\mathcal{O}(n \log n)$

## Satz

Das Voronoi-Diagramm lässt sich in  $\mathcal{O}(n \log n)$  berechnen.

## Satz

Das Voronoi-Diagramm lässt sich in  $\mathcal{O}(n \log n)$  berechnen.

Geht es besser?

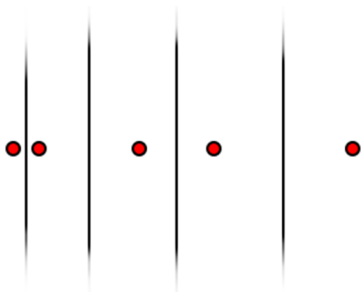
# Hauptergebnis

## Satz

Das Voronoi-Diagramm lässt sich in  $\mathcal{O}(n \log n)$  berechnen.

## Geht es besser?

- ▶  $n$  Zahlen lassen sich mit einem Voronoi-Diagramm sortieren

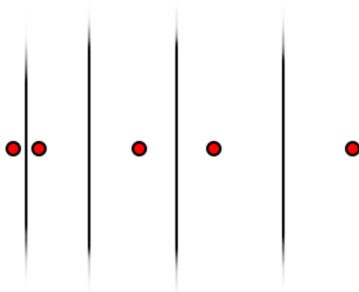


## Satz

Das Voronoi-Diagramm lässt sich in  $\mathcal{O}(n \log n)$  berechnen.

## Geht es besser?

- ▶  $n$  Zahlen lassen sich mit einem Voronoi-Diagramm sortieren
- ▶ Berechnung des Voronoi-Diagramms in  $\Omega(n \log n)$

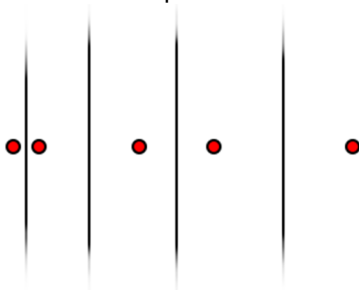


## Satz

Das Voronoi-Diagramm lässt sich in  $\mathcal{O}(n \log n)$  berechnen.

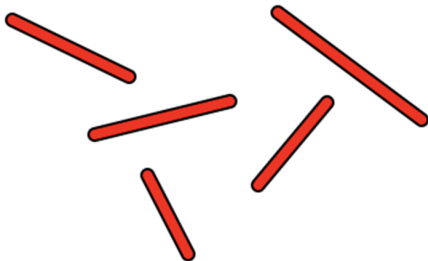
## Geht es besser?

- ▶  $n$  Zahlen lassen sich mit einem Voronoi-Diagramm sortieren
- ▶ Berechnung des Voronoi-Diagramms in  $\Omega(n \log n)$
- ▶ Fortune's Algorithmus ist optimal!



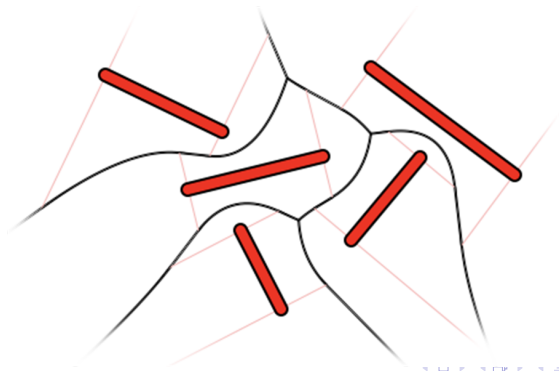
# Voronoi Diagramme von Strecken

Statt Punkten  $P = \{p_1, \dots, p_n\}$  betrachten wir jetzt Strecken  $S = \{s_1, \dots, s_n\}$  als Zentren der Voronoi-Regionen.



# Voronoi Diagramme von Strecken

Statt Punkten  $P = \{p_1, \dots, p_n\}$  betrachten wir jetzt Strecken  $S = \{s_1, \dots, s_n\}$  als Zentren der Voronoi-Regionen.



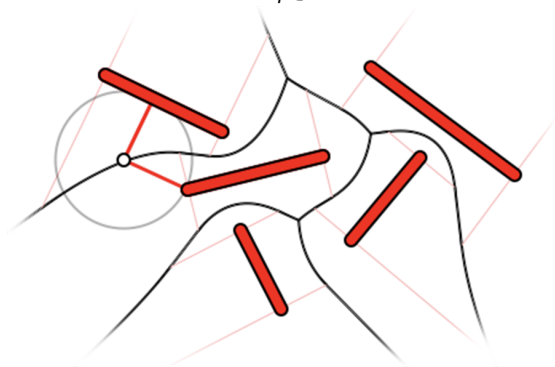
# Voronoi Diagramme von Strecken

Statt Punkten  $P = \{p_1, \dots, p_n\}$  betrachten wir jetzt Strecken  $S = \{s_1, \dots, s_n\}$  als Zentren der Voronoi-Regionen.

## Definition

Für  $q \in \mathbb{R}^2$  definiere den Abstand  $\text{dist}(q, s)$  zu  $s \in S$  als

$$\text{dist}(q, s) = \min_{p \in s} \text{dist}(q, p)$$



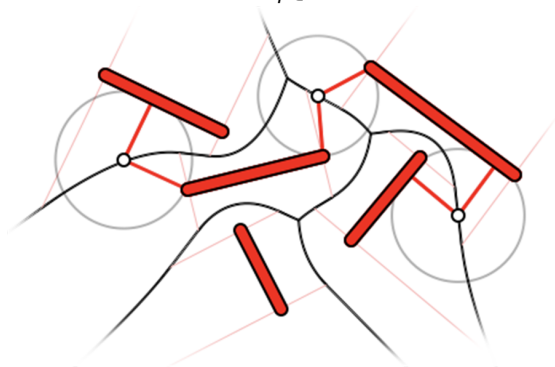
# Voronoi Diagramme von Strecken

Statt Punkten  $P = \{p_1, \dots, p_n\}$  betrachten wir jetzt Strecken  $S = \{s_1, \dots, s_n\}$  als Zentren der Voronoi-Regionen.

## Definition

Für  $q \in \mathbb{R}^2$  definiere den Abstand  $\text{dist}(q, s)$  zu  $s \in S$  als

$$\text{dist}(q, s) = \min_{p \in s} \text{dist}(q, p)$$



# Voronoi Diagramme von Strecken

Statt Punkten  $P = \{p_1, \dots, p_n\}$  betrachten wir jetzt Strecken  $S = \{s_1, \dots, s_n\}$  als Zentren der Voronoi-Regionen.

## Definition

Für  $q \in \mathbb{R}^2$  definiere den Abstand  $\text{dist}(q, s)$  zu  $s \in S$  als

$$\text{dist}(q, s) = \min_{p \in s} \text{dist}(q, p)$$

Bisektoren zweier Zentren bestehen nun aus bis zu 7 Teilen, die jeweils entweder eine Strecke oder ein parabolischer Bogen sind.

# Voronoi Diagramme von Strecken

Statt Punkten  $P = \{p_1, \dots, p_n\}$  betrachten wir jetzt Strecken  $S = \{s_1, \dots, s_n\}$  als Zentren der Voronoi-Regionen.

## Definition

Für  $q \in \mathbb{R}^2$  definiere den Abstand  $\text{dist}(q, s)$  zu  $s \in S$  als

$$\text{dist}(q, s) = \min_{p \in s} \text{dist}(q, p)$$

Bisektoren zweier Zentren bestehen nun aus bis zu 7 Teilen, die jeweils entweder eine Strecke oder ein parabolischer Bogen sind. Die Komplexität des Voronoi-Diagramms ist weiterhin in  $\mathcal{O}(n)$ .

# Beach-Line

Zur Konstruktion der Beach-Line betrachten wir weiterhin nur den Teil von  $S$ , der links von  $\ell$  liegt. Sie besteht nun aus Strecken und parabolischen Bögen.

Zur Konstruktion der Beach-Line betrachten wir weiterhin nur den Teil von  $S$ , der links von  $\ell$  liegt. Sie besteht nun aus Strecken und parabolischen Bögen.

## verschiedene Rollen der Schnittpunkte

Ein Schnittpunkt fährt eine Voronoi-Kante ab

$\iff$  Die zugehörigen Teile der Beach-Line gehören zu unterschiedlichen Strecken aus  $S$

Zur Konstruktion der Beach-Line betrachten wir weiterhin nur den Teil von  $S$ , der links von  $\ell$  liegt. Sie besteht nun aus Strecken und parabolischen Bögen.

## verschiedene Rollen der Schnittpunkte

Ein Schnittpunkt fährt eine Voronoi-Kante ab

$\iff$  Die zugehörigen Teile der Beach-Line gehören zu unterschiedlichen Strecken aus  $S$

## unterschiedliches Verhalten der Schnittpunkte

Ein Schnittpunkt fährt eine Parabel ab

$\iff$  Ein Teil gehört zu einem Endpunkt einer Strecke und der andere zum Inneren einer anderen Strecke

## Site Events

- ▶ Startpunkte teilen ein Stück der Beach-Line in zwei Teile und fügen vier weitere hinzu

## Site Events

- ▶ Startpunkte teilen ein Stück der Beach-Line in zwei Teile und fügen vier weitere hinzu
- ▶ Endpunkte ersetzen einen Schnittpunkt der Beach-Line durch parabolischen Bogen

## Site Events

- ▶ Startpunkte teilen ein Stück der Beach-Line in zwei Teile und fügen vier weitere hinzu
- ▶ Endpunkte ersetzen einen Schnittpunkt der Beach-Line durch parabolischen Bogen

## Circle Events

- ▶ Signalisieren das Verschwinden eines Teils der Beach-Line

## Site Events

- ▶ Startpunkte teilen ein Stück der Beach-Line in zwei Teile und fügen vier weitere hinzu
- ▶ Endpunkte ersetzen einen Schnittpunkt der Beach-Line durch parabolischen Bogen

## Circle Events

- ▶ Signalisieren das Verschwinden eines Teils der Beach-Line
- ▶ Induzieren einen Voronoi-Knoten

Fortune's Algorithmus lässt sich erweitern

- ▶ Deutlich mehr Fallunterscheidungen

# Sweep-Line-Algorithmus

Fortune's Algorithmus lässt sich erweitern

- ▶ Deutlich mehr Fallunterscheidungen

Laufzeit

- ▶ Pro Event in  $\mathcal{O}(\log n)$

Fortune's Algorithmus lässt sich erweitern

- ▶ Deutlich mehr Fallunterscheidungen

Laufzeit

- ▶ Pro Event in  $\mathcal{O}(\log n)$
- ▶ Insgesamt  $\mathcal{O}(n)$  Ereignisse

Fortune's Algorithmus lässt sich erweitern

- ▶ Deutlich mehr Fallunterscheidungen

Laufzeit

- ▶ Pro Event in  $\mathcal{O}(\log n)$
- ▶ Insgesamt  $\mathcal{O}(n)$  Ereignisse  
⇒ Gesamtlauzeit in  $\mathcal{O}(n \log n)$

# Voronoi Diagrams

Christian Wellenbrock

December 1, 2009